

DOI: <https://doi.org/10.30898/1684-1719.2024.3.12>

УДК: 621.396

**ОБОБЩЁННОЕ НЕРАВЕНСТВО КРАМЕРА – РАО
В СЛУЧАЕ СОВМЕСТНОГО ПЕЛЕНГОВАНИЯ
ПО АЗИМУТУ И УГЛУ МЕСТА
В УСЛОВИЯХ СЛОЖНОЙ ЭЛЕКТРОМАГНИТНОЙ ОБСТАНОВКИ**

М.П. Сличенко, О.Н. Завалишина

**АО «Концерн «Созвездие»
394018, Воронеж, ул. Плехановская, 14**

Статья поступила в редакцию 6 февраля 2024 г.

Аннотация. В работе получено обобщённое выражение для нижней границы дисперсии неравенства Крамера – Рао в случае совместной оценки азимута и угла места в произвольной системе координат, в которой определена векторная комплексная диаграмма направленности, в условиях сложной электромагнитной обстановки, в том числе при наличии корреляции шума в пространственных каналах и различиях в его интенсивности. Сформулирована теорема для информации Фишера совместных оценок азимута и угла места в случае многоканального обнаружителя-пеленгатора с антенной системой, описываемой в выбранной системе координат векторной комплексной диаграммой направленности. Получены зависимости среднеквадратической ошибки пеленгования по азимуту и углу места от отношения сигнал/шум и истинных направлений на источник радиоизлучения, рассчитанные по используемым и обобщённым выражениям для нижней границы Крамера – Рао. Получено условие применимости существующего и предложенного в статье выражения для информационной матрицы Фишера. Приведено понятие «энергетического» центра антенной системы. Для подтверждения достоверности полученных

обобщённых выражений для нижней границы дисперсии неравенства Крамера – Рао было проведено статистическое моделирование. Использование на практике полученных обобщённых выражений для нижней границы Крамера – Рао позволит решать задачу синтеза пеленгационных АС в зависимости от ее структуры и характеристик направленности, числа антенн и параметров окружающей электромагнитной обстановки.

Ключевые слова: обнаружитель-пеленгатор, метод максимального правдоподобия, пеленгационный рельеф, потенциальные характеристики, неравенство Крамера – Рао, энергетический центр, сложная электромагнитная обстановка.

Автор для переписки: Сличенко Михаил Павлович, m.p.slichenko@sozvezdie.su

Введение

В последние десятилетия при решении задач радиомониторинга широко используются методы статистической обработки сигналов. В существующей литературе [1-3] проведен анализ основных результатов современного решения задач радиомониторинга методами статистической радиотехники. В системах радиомониторинга широкое распространение получили многоканальные обнаружители-пеленгаторы (ОП), в состав которых входят многоканальная антенная система (АС), радиоприемное устройство и аппаратура цифровой обработки сигналов, с помощью которых решается задача обнаружения и пеленгования источника радиоизлучения (ИРИ).

Для оценки потенциальной точности измеренных параметров сигналов широко используется неравенство Крамера – Рао [4-7], которое применительно к задаче пеленгования ИРИ многоканальным ОП по азимуту и (или) углу места рассматривается в [8-16]. В работах [8-11] на основе неравенства Крамера – Рао получены выражения для нижней границы среднеквадратической ошибки (СКО) пеленгования многоканального пеленгатора с плоской антенной решеткой (АР) из ненаправленных антенных элементов (АЭ) на фоне белого гауссовского шума.

Потенциальная точность пеленгования многоканальным ОП в азимутальной и угломестной плоскостях для эквидистантной кольцевой АР рассмотрена в работах [12-14]. Выражения для нижней границы дисперсии ошибки пеленгования в случае сложной помеховой обстановки были получены в [15, 16].

Однако в работах [17-20] показано, что существующие выражения для нижней границы дисперсии ошибки пеленгования [8-16] справедливы лишь при выполнении условия о том, что векторная комплексная диаграмма направленности (ВКДН) АС ОП должна быть определена в системе координат (СК), начало которой совмещено с «энергетическим» центром АС.

В реальных условиях наличие взаимных влияний переотражающих элементов, корпуса носителя и произвольное пространственное размещение ОП приводит к изменению соотношений уровней принимаемого сигнала, а результирующее электромагнитное поле в области размещения элементов АС имеет сложную структуру, что оказывает существенное влияние на характеристики ОП. В общем случае, пространственное положение «энергетического» центра АС является частотно зависимым. Это означает, что для использования выражения [8-16] для неравенства Крамера – Рао необходимо учитывать данную зависимость, иначе, такая оценка потенциальной точности пеленгования будет содержать ошибку. Обобщённое выражение для нижней границы дисперсии неравенства Крамера – Рао, полученное в работах [17-20], не требует отдельного учета положения «энергетического» центра АС. Однако в указанных работах рассматривался случай пеленгования лишь в азимутальной плоскости. Поэтому актуальной задачей является получение обобщённого выражения для нижней границы Крамера – Рао на случай совместной оценки азимута и угла места на ИРИ с учётом сложной электромагнитной обстановки, в том числе проявляющуюся в наличии корреляции шума в пространственных каналах ОП и различиях в его интенсивности.

1. Постановка задачи.

Для оценки потенциальной точности измеренных угловых координат при наличии шума используется матрица Фишера [1-4]

$$\Phi = - \left\| \left\langle \frac{\partial^2 L(\dot{\mathbf{V}}|\mathbf{I})}{\partial l_i \partial l_j^T} \right\rangle \Bigg|_{\substack{l_i=l_i^{(0)} \\ l_j=l_j^{(0)}}} \right\|, \quad (1)$$

где $L(\dot{\mathbf{V}}|\mathbf{I})$ – логарифм функции правдоподобия, $\mathbf{I} = (l_0, l_1)^T = (\theta, \beta)^T$ – вектор-столбец, составленный из азимута θ и угла места β направления на ИРИ, $l_i^{(0)}$, $l_j^{(0)}$ – истинные значения компонент вектора \mathbf{I} , $\dot{\mathbf{V}}$ – вектор наблюдаемых данных, зависящий от вектора \mathbf{I} .

В работах [8-14] при совместной оценке потенциальной точности пеленгования по азимуту и углу места используется следующее выражение для информационной матрицы Фишера:

$$\Phi = 2 \sum_{q=1}^Q |\dot{E}_q|^2 \left\| \left(\frac{\partial \dot{\mathbf{H}}(\mathbf{I})^H}{\partial l_i} \mathbf{K}^{-1} \frac{\partial \dot{\mathbf{H}}(\mathbf{I})}{\partial l_j} \right) \Bigg|_{\substack{l_i=l_i^{(0)} \\ l_j=l_j^{(0)}}} \right\|, \quad (2)$$

в соответствии с которым дисперсии оценок азимута и угла места имеют вид

$$\sigma_\theta^2 = \frac{1}{2 \sum_{q=1}^Q |\dot{E}_q|^2 (1 - |\dot{r}_{\theta\beta}|^2) \frac{\partial \dot{\mathbf{H}}(\theta, \beta)^H}{\partial \theta} \mathbf{K}^{-1} \frac{\partial \dot{\mathbf{H}}(\theta, \beta)}{\partial \theta}}, \quad (3)$$

$$\sigma_\beta^2 = \frac{1}{2 \sum_{q=1}^Q |\dot{E}_q|^2 (1 - |\dot{r}_{\theta\beta}|^2) \frac{\partial \dot{\mathbf{H}}(\theta, \beta)^H}{\partial \beta} \mathbf{K}^{-1} \frac{\partial \dot{\mathbf{H}}(\theta, \beta)}{\partial \beta}}, \quad (4)$$

где $\dot{\mathbf{H}}(\theta, \beta)$ – ВКДН АС, \mathbf{K} – матрица ковариации шума.

Далее в работе будет научно обосновано, что данное выражение справедливо лишь в том случае, когда ВКДН определена в СК с началом, совмещенным с положением «энергетического» центра АС. В остальных случаях данное выражение даёт ошибочную завышенную оценку элементов матрицы

Фишера (и, как следствие, заниженное значение дисперсии совместных оценок азимута и угла места).

Рассмотрим задачу совместного оценивания азимута и угла места на ИРИ на фоне белого гауссовского шума многоканальным ОП с произвольной структурой и характеристиками направленности АС. Максимально правдоподобный пеленгационный рельеф в случае пеленгования по азимуту и углу места имеет известный вид [9-13]

$$M(\theta, \beta) = \frac{\dot{\mathbf{H}}(\theta, \beta)^H \dot{\mathbf{K}}^{-1} \dot{\mathbf{W}} \dot{\mathbf{K}}^{-1} \dot{\mathbf{H}}(\theta, \beta)}{\dot{\mathbf{H}}(\theta, \beta)^H \dot{\mathbf{K}}^{-1} \dot{\mathbf{H}}(\theta, \beta)}, \quad (5)$$

где $\dot{\mathbf{W}} = \sum_{q=1}^Q \dot{\mathbf{W}}_q = \sum_{q=1}^Q \dot{\mathbf{V}}_q \dot{\mathbf{V}}_q^H$ – матрица размера $N \times N$ взаимных энергий сигналов, накопленная по серии из Q реализаций, $q = \overline{1, Q}$, $\dot{\mathbf{V}}_q = \dot{E}_q \dot{\mathbf{H}}(\theta, \beta) + \dot{\xi}_q$ – вектор-столбец комплексных амплитуд напряжений на выходах антенных элементов (АЭ), измеренных по серии из Q , \dot{E}_q – комплексные амплитуды напряженности электрической составляющей электромагнитного поля радиоволны, приходящей с азимута θ в q -м наблюдении; $\dot{\xi}_q$ – N -мерный вектор шума, элементами которого являются комплексные случайные величины с произвольной одинаковой для всех измерений эрмитовой матрицей ковариации $\dot{\mathbf{K}}$ размера $N \times N$, где $\dot{\mathbf{K}} = \langle \dot{\xi}_q \dot{\xi}_q^H \rangle$.

2. Вывод обобщенного выражения для нижней границы Крамера – Рао.

По результатам исследований авторов настоящей работы можно сформулировать следующую теорему для матрицы Фишера максимально правдоподобных оценок направлений на ИРИ в произвольной СК, в которой определена ВКДН.

Теорема. В случае многоканального обнаружителя-пеленгатора, АС которого описывается ВКДН $\dot{\mathbf{H}}(\theta, \beta)$ матрица Фишера $\dot{\Phi}'$ совместных оценок азимута и угла места на ИРИ:

$$\Phi' = \Phi - \Delta\Phi, \quad (6)$$

где матрицы

$$\Phi = 2\text{Re} \sum_{q=1}^Q |\dot{E}_q|^2 \begin{pmatrix} \mathbf{F}_{11} & \mathbf{F}_{12} \\ \mathbf{F}_{21} & \mathbf{F}_{22} \end{pmatrix}, \quad \Delta\Phi = 2\text{Re} \sum_{q=1}^Q |\dot{E}_q|^2 \begin{pmatrix} \Delta\mathbf{F}_{11} & \Delta\mathbf{F}_{12} \\ \Delta\mathbf{F}_{21} & \Delta\mathbf{F}_{22} \end{pmatrix},$$

элементы которых определяются выражениями

$$\mathbf{F}_{ij} = \frac{\partial \dot{\mathbf{H}}(\theta, \beta)^H}{\partial l_i} \dot{\mathbf{K}}^{-1} \frac{\partial \dot{\mathbf{H}}(\theta, \beta)}{\partial l_j},$$

$$\Delta\mathbf{F}_{ij} = \frac{\partial \dot{\mathbf{H}}(\theta, \beta)^H}{\partial l_i} \dot{\mathbf{K}}^{-\frac{1}{2}} \hat{\mathbf{\Pi}}(\theta, \beta) \dot{\mathbf{K}}^{-\frac{1}{2}} \frac{\partial \dot{\mathbf{H}}(\theta, \beta)}{\partial l_j}, \quad i, j = 1, 2,$$

где $\hat{\mathbf{\Pi}}(\theta, \beta) = \frac{\dot{\mathbf{K}}^{-\frac{1}{2}} \dot{\mathbf{H}}(\theta, \beta) \dot{\mathbf{H}}(\theta, \beta)^H \dot{\mathbf{K}}^{-\frac{1}{2}}}{\dot{\mathbf{H}}(\theta, \beta)^H \dot{\mathbf{K}}^{-1} \dot{\mathbf{H}}(\theta, \beta)}$ – матрица-проектор. Далее для сокращения записи выражений опустим аргументы θ, β и матрицу-проектор будем обозначать $\hat{\mathbf{\Pi}}$.

Доказательство. В [11, 16] показано, что логарифм функции правдоподобия в случае совместного пеленгования по азимуту и углу места может быть представлен в виде

$$L(\dot{\mathbf{V}}|\mathbf{I}) = \ln \left(\frac{1}{\pi^N |\dot{\mathbf{K}}|} \right) + (-\text{Tr}(\dot{\mathbf{K}}^{-1} \dot{\mathbf{W}}) + M(\theta, \beta)), \quad (7)$$

где используемое слагаемое $\left(\ln \left(\frac{1}{\pi^N |\dot{\mathbf{K}}|} \right) - \text{Tr}(\dot{\mathbf{K}}^{-1} \dot{\mathbf{W}}) \right)$ не зависит от азимута θ

и угла места β .

Введем $\Psi(\dot{\mathbf{V}}|\mathbf{I}) = -L(\dot{\mathbf{V}}|\mathbf{I})$ и перепишем матрицу Фишера (1),

$$\Phi = \begin{pmatrix} \left\langle \frac{\partial^2 \Psi(\dot{\mathbf{V}}|\theta, \beta)}{\partial \theta^2} \right\rangle & \left\langle \frac{\partial^2 \Psi(\dot{\mathbf{V}}|\theta, \beta)}{\partial \theta \partial \beta} \right\rangle \\ \left\langle \frac{\partial^2 \Psi(\dot{\mathbf{V}}|\theta, \beta)}{\partial \beta \partial \theta} \right\rangle & \left\langle \frac{\partial^2 \Psi(\dot{\mathbf{V}}|\theta, \beta)}{\partial \beta^2} \right\rangle \end{pmatrix} \Bigg|_{\substack{\theta=\theta_0 \\ \beta=\beta_0}}.$$

После подстановки (5) в (7), с учетом результатов работ [14-16], среднее значение частных производных второго порядка функции $\Psi(\dot{\mathbf{V}}|\mathbf{l})$ можно представить в виде

$$\left\langle \frac{\partial^2 \Psi(\dot{\mathbf{V}}|\mathbf{l})}{\partial \theta^2} \right\rangle = 2 \sum_{q=1}^Q |\dot{E}_q|^2 \frac{\partial \dot{\mathbf{H}}(\theta, \beta)^H}{\partial \theta} \left(\dot{\mathbf{K}}^{-1} - \frac{\dot{\mathbf{K}}^{-1} \dot{\mathbf{H}}(\theta, \beta) \dot{\mathbf{H}}(\theta, \beta)^H \dot{\mathbf{K}}^{-1}}{\dot{\mathbf{H}}(\theta, \beta)^H \dot{\mathbf{K}}^{-1} \dot{\mathbf{H}}(\theta, \beta)} \right) \frac{\partial \dot{\mathbf{H}}(\theta, \beta)}{\partial \theta}, \quad (8)$$

$$\left\langle \frac{\partial^2 \Psi(\dot{\mathbf{V}}|\mathbf{l})}{\partial \beta^2} \right\rangle = 2 \sum_{q=1}^Q |\dot{E}_q|^2 \frac{\partial \dot{\mathbf{H}}(\theta, \beta)^H}{\partial \beta} \left(\dot{\mathbf{K}}^{-1} - \frac{\dot{\mathbf{K}}^{-1} \dot{\mathbf{H}}(\theta, \beta) \dot{\mathbf{H}}(\theta, \beta)^H \dot{\mathbf{K}}^{-1}}{\dot{\mathbf{H}}(\theta, \beta)^H \dot{\mathbf{K}}^{-1} \dot{\mathbf{H}}(\theta, \beta)} \right) \frac{\partial \dot{\mathbf{H}}(\theta, \beta)}{\partial \beta}. \quad (9)$$

Далее найдем смешанную производную $\frac{\partial^2 \Psi(\dot{\mathbf{V}}|\theta, \beta)}{\partial \theta \partial \beta} = -\frac{\partial^2 M(\theta, \beta)}{\partial \theta \partial \beta}$.

С учетом (5) производные $M(\theta, \beta)$ первого и второго порядков:

$$\begin{aligned} \frac{\partial M(\theta, \beta)}{\partial \theta} &= \frac{\partial \dot{\mathbf{H}}(\theta, \beta)^H}{\partial \theta} \dot{\mathbf{K}}^{-1} \dot{\mathbf{W}} \dot{\mathbf{K}}^{-1} \dot{\mathbf{H}}(\theta, \beta) + \dot{\mathbf{H}}(\theta, \beta)^H \dot{\mathbf{K}}^{-1} \dot{\mathbf{W}} \dot{\mathbf{K}}^{-1} \frac{\partial \dot{\mathbf{H}}(\theta, \beta)}{\partial \theta}, \\ \frac{\partial^2 M(\theta, \beta)}{\partial \theta \partial \beta} &= 2 \operatorname{Re} \left\{ \frac{\partial^2 \dot{\mathbf{H}}(\theta, \beta)^H}{\partial \theta \partial \beta} \dot{\mathbf{K}}^{-1} \dot{\mathbf{W}} \dot{\mathbf{K}}^{-1} \dot{\mathbf{H}}(\theta, \beta) + \frac{\partial \dot{\mathbf{H}}(\theta, \beta)^H}{\partial \theta} \dot{\mathbf{K}}^{-1} \dot{\mathbf{W}} \dot{\mathbf{K}}^{-1} \frac{\partial \dot{\mathbf{H}}(\theta, \beta)}{\partial \beta} \right\}, \end{aligned}$$

где $\dot{\mathbf{H}}(\theta, \beta) = \frac{\dot{\mathbf{H}}(\theta, \beta)}{\sqrt{\dot{\mathbf{H}}(\theta, \beta)^H \dot{\mathbf{K}}^{-1} \dot{\mathbf{H}}(\theta, \beta)}}$.

В предположении, что аддитивный шум имеет нулевое среднее, справедливо соотношение

$$\begin{aligned} \langle \mathbf{W} \rangle &= \left\langle \sum_{q=1}^Q \dot{\mathbf{v}}_q \dot{\mathbf{v}}_q^H \right\rangle = \left\langle \sum_{q=1}^Q [\dot{E}_q \dot{\mathbf{H}}(\theta, \beta) + \dot{\xi}_q] [\dot{E}_q \dot{\mathbf{H}}(\theta, \beta) + \dot{\xi}_q]^H \right\rangle = \\ &= \sum_{q=1}^Q |\dot{E}_q|^2 \dot{\mathbf{H}}(\theta, \beta) \dot{\mathbf{H}}(\theta, \beta)^H + Q \dot{\mathbf{K}}. \end{aligned}$$

с учётом которого усредненное значение второй производной $M(\theta, \beta)$

$$\begin{aligned} \left\langle \frac{\partial^2 M(\theta, \beta)}{\partial \theta \partial \beta} \right\rangle &= 2 \operatorname{Re} \left\{ \frac{\partial^2 \dot{\mathbf{H}}(\theta, \beta)^H}{\partial \theta \partial \beta} \dot{\mathbf{K}}^{-1} \left(\sum_{q=1}^Q |\dot{E}_q|^2 \dot{\mathbf{H}}(\theta, \beta) \dot{\mathbf{H}}(\theta, \beta)^H + Q \dot{\mathbf{K}} \right) \times \right. \\ &\times \left. \dot{\mathbf{K}}^{-1} \dot{\mathbf{H}}(\theta, \beta) + \frac{\partial \dot{\mathbf{H}}(\theta, \beta)^H}{\partial \theta} \dot{\mathbf{K}}^{-1} \left(\sum_{q=1}^Q |\dot{E}_q|^2 \dot{\mathbf{H}}(\theta, \beta) \dot{\mathbf{H}}(\theta, \beta)^H + Q \dot{\mathbf{K}} \right) \dot{\mathbf{K}}^{-1} \frac{\partial \dot{\mathbf{H}}(\theta, \beta)}{\partial \beta} \right\}. \quad (10) \end{aligned}$$

Введём обозначение $b = \left(\dot{\mathbf{H}}(\theta, \beta)^H \dot{\mathbf{K}}^{-1} \dot{\mathbf{H}}(\theta, \beta) \right)^{\frac{1}{2}}$, и далее для сокращения записи выражений будем использовать $\dot{\mathbf{H}} = \dot{\mathbf{H}}(\theta, \beta)$. Тогда представим (10) в следующем виде

$$\begin{aligned} \left\langle \frac{\partial^2 M(\theta, \beta)}{\partial \theta \partial \beta} \right\rangle &= 2 \operatorname{Re} \left\{ \left(\frac{\partial^2 \dot{\mathbf{H}}^H}{\partial \theta \partial \beta} b + \dot{\mathbf{H}}^H \frac{\partial^2 b}{\partial \theta \partial \beta} + \frac{\partial \dot{\mathbf{H}}^H}{\partial \theta} \frac{\partial b}{\partial \beta} + \frac{\partial \dot{\mathbf{H}}^H}{\partial \beta} \frac{\partial b}{\partial \theta} \right) \dot{\mathbf{K}}^{-1} \times \right. \\ &\quad \times \left(\sum_{q=1}^Q |\dot{E}_q|^2 \dot{\mathbf{H}} b^{-1} + Q \dot{\mathbf{H}} b \right) + \left(\frac{\partial \dot{\mathbf{H}}^H}{\partial \theta} b + \dot{\mathbf{H}}^H \frac{\partial b}{\partial \theta} \right) \dot{\mathbf{K}}^{-1} \times \\ &\quad \left. \times \left(\sum_{q=1}^Q |\dot{E}_q|^2 \dot{\mathbf{H}} \dot{\mathbf{H}}^H + Q \dot{\mathbf{K}} \right) \dot{\mathbf{K}}^{-1} \left(\frac{\partial \dot{\mathbf{H}}}{\partial \beta} b + \dot{\mathbf{H}} \frac{\partial b}{\partial \beta} \right) \right\} = 2 \operatorname{Re} \{ \mathbf{J}_1 + \mathbf{I}_1 + \mathbf{J}_2 + \mathbf{I}_2 \}. \end{aligned} \quad (11)$$

где

$$\begin{aligned} \mathbf{J}_1 &= \sum_{q=1}^Q |\dot{E}_q|^2 \left(\frac{\partial^2 \dot{\mathbf{H}}^H}{\partial \theta \partial \beta} \dot{\mathbf{K}}^{-1} \dot{\mathbf{H}} + \dot{\mathbf{H}}^H \frac{\partial^2 b}{\partial \theta \partial \beta} \dot{\mathbf{K}}^{-1} \dot{\mathbf{H}} (b)^{-1} + \right. \\ &\quad \left. + \frac{\partial \dot{\mathbf{H}}^H}{\partial \theta} \frac{\partial b}{\partial \beta} \dot{\mathbf{K}}^{-1} \dot{\mathbf{H}} (b)^{-1} + \frac{\partial \dot{\mathbf{H}}^H}{\partial \beta} \frac{\partial b}{\partial \theta} \dot{\mathbf{K}}^{-1} \dot{\mathbf{H}} (b)^{-1} \right), \\ \mathbf{I}_1 &= Q \left\{ \frac{\partial^2 \dot{\mathbf{H}}^H}{\partial \theta \partial \beta} \dot{\mathbf{K}}^{-1} \dot{\mathbf{H}} b^2 + \dot{\mathbf{H}}^H \frac{\partial^2 b}{\partial \theta \partial \beta} \dot{\mathbf{K}}^{-1} \dot{\mathbf{H}} b + \frac{\partial \dot{\mathbf{H}}^H}{\partial \theta} \frac{\partial b}{\partial \beta} \dot{\mathbf{K}}^{-1} \dot{\mathbf{H}} b + \frac{\partial \dot{\mathbf{H}}^H}{\partial \beta} \frac{\partial b}{\partial \theta} \dot{\mathbf{K}}^{-1} \dot{\mathbf{H}} b \right\}, \\ \mathbf{J}_2 &= \sum_{q=1}^Q |\dot{E}_q|^2 \left(\frac{\partial \dot{\mathbf{H}}^H}{\partial \theta} b \dot{\mathbf{K}}^{-1} \dot{\mathbf{H}} \dot{\mathbf{H}}^H \dot{\mathbf{K}}^{-1} \frac{\partial \dot{\mathbf{H}}}{\partial \beta} b + \dot{\mathbf{H}}^H \frac{\partial b}{\partial \theta} \dot{\mathbf{K}}^{-1} \dot{\mathbf{H}} \dot{\mathbf{H}}^H \dot{\mathbf{K}}^{-1} \dot{\mathbf{H}} \frac{\partial b}{\partial \beta} + \right. \\ &\quad \left. + \frac{\partial \dot{\mathbf{H}}^H}{\partial \theta} b \dot{\mathbf{K}}^{-1} \dot{\mathbf{H}} \dot{\mathbf{H}}^H \dot{\mathbf{K}}^{-1} \dot{\mathbf{H}} \frac{\partial b}{\partial \beta} + \dot{\mathbf{H}}^H \frac{\partial b}{\partial \theta} \dot{\mathbf{K}}^{-1} \dot{\mathbf{H}} \dot{\mathbf{H}}^H \dot{\mathbf{K}}^{-1} \frac{\partial \dot{\mathbf{H}}}{\partial \beta} b \right), \\ \mathbf{I}_2 &= Q \left(\frac{\partial \dot{\mathbf{H}}^H}{\partial \theta} b \dot{\mathbf{K}}^{-1} \frac{\partial \dot{\mathbf{H}}}{\partial \beta} b + \frac{\partial \dot{\mathbf{H}}^H}{\partial \theta} b \dot{\mathbf{K}}^{-1} \dot{\mathbf{H}} \frac{\partial b}{\partial \beta} b + \dot{\mathbf{H}}^H \frac{\partial b}{\partial \theta} \dot{\mathbf{K}}^{-1} \frac{\partial \dot{\mathbf{H}}}{\partial \beta} b + \dot{\mathbf{H}}^H \frac{\partial b}{\partial \theta} \dot{\mathbf{K}}^{-1} \dot{\mathbf{H}} \frac{\partial b}{\partial \beta} \right), \end{aligned}$$

первая и вторая производные $b = \left(\dot{\mathbf{H}}^H \dot{\mathbf{K}}^{-1} \dot{\mathbf{H}} \right)^{\frac{1}{2}}$

$$\begin{aligned} \frac{\partial b}{\partial \theta} &= - \left(\dot{\mathbf{H}}^H \dot{\mathbf{K}}^{-1} \dot{\mathbf{H}} \right)^{-3/2} \operatorname{Re} \left\{ \frac{\partial \dot{\mathbf{H}}^H}{\partial \theta} \dot{\mathbf{K}}^{-1} \dot{\mathbf{H}} \right\}, \quad \frac{\partial b}{\partial \beta} = - \left(\dot{\mathbf{H}}^H \dot{\mathbf{K}}^{-1} \dot{\mathbf{H}} \right)^{-3/2} \operatorname{Re} \left\{ \frac{\partial \dot{\mathbf{H}}^H}{\partial \beta} \dot{\mathbf{K}}^{-1} \dot{\mathbf{H}} \right\}, \\ \frac{\partial^2 b}{\partial \theta \partial \beta} &= 3 \left(\dot{\mathbf{H}}^H \dot{\mathbf{K}}^{-1} \dot{\mathbf{H}} \right)^{-5/2} \operatorname{Re} \left\{ \frac{\partial \dot{\mathbf{H}}^H}{\partial \beta} \dot{\mathbf{K}}^{-1} \dot{\mathbf{H}} \right\} \operatorname{Re} \left\{ \frac{\partial \dot{\mathbf{H}}^H}{\partial \theta} \dot{\mathbf{K}}^{-1} \dot{\mathbf{H}} \right\} - \left(\dot{\mathbf{H}}^H \dot{\mathbf{K}}^{-1} \dot{\mathbf{H}} \right)^{-3/2} \times \\ &\quad \times \left(\operatorname{Re} \left\{ \frac{\partial^2 \dot{\mathbf{H}}^H}{\partial \theta \partial \beta} \dot{\mathbf{K}}^{-1} \dot{\mathbf{H}} \right\} + \operatorname{Re} \left\{ \frac{\partial \dot{\mathbf{H}}^H}{\partial \theta} \dot{\mathbf{K}}^{-1} \frac{\partial \dot{\mathbf{H}}}{\partial \beta} \right\} \right). \end{aligned}$$

В результате выполнения обратной замены переменных выражение (11) запишем как

$$\left\langle \frac{\partial^2 M(\theta, \beta)}{\partial \theta \partial \beta} \right\rangle = 2 \operatorname{Re} \left\{ \sum_{q=1}^Q |\dot{E}_q|^2 \frac{\partial \dot{\mathbf{H}}(\theta, \beta)^H}{\partial \theta} \left(\frac{\dot{\mathbf{K}}^{-1} \dot{\mathbf{H}}(\theta, \beta) \dot{\mathbf{H}}(\theta, \beta)^H \dot{\mathbf{K}}^{-1}}{\dot{\mathbf{H}}(\theta, \beta)^H \dot{\mathbf{K}}^{-1} \dot{\mathbf{H}}(\theta, \beta)} - \dot{\mathbf{K}}^{-1} \right) \frac{\partial \dot{\mathbf{H}}(\theta, \beta)}{\partial \beta} \right\},$$

причем $\dot{\mathbf{I}}_1 + \dot{\mathbf{I}}_2 = \mathbf{0}$. Тогда с учётом (8), (9) матрицу Фишера (1) можем представить в виде

$$\Phi' = 2 \operatorname{Re} \sum_{q=1}^Q |\dot{E}_q|^2 \begin{vmatrix} \mathbf{F}'_{11} & \mathbf{F}'_{12} \\ \mathbf{F}'_{21} & \mathbf{F}'_{22} \end{vmatrix},$$

где элементы определяются выражением

$$\mathbf{F}'_{ij} = \mathbf{F}_{ij} - \Delta \mathbf{F}_{ij} = \frac{\partial \dot{\mathbf{H}}(\theta, \beta)^H}{\partial l_i} \left(\dot{\mathbf{K}}^{-1} - \frac{\dot{\mathbf{K}}^{-1} \dot{\mathbf{H}}(\theta, \beta) \dot{\mathbf{H}}(\theta, \beta)^H \dot{\mathbf{K}}^{-1}}{\dot{\mathbf{H}}(\theta, \beta)^H \dot{\mathbf{K}}^{-1} \dot{\mathbf{H}}(\theta, \beta)} \right) \frac{\partial \dot{\mathbf{H}}(\theta, \beta)}{\partial l_j}. \quad (12)$$

Таким образом, теорема доказана.

В соответствии с доказанной теоремой, для оценки потенциальной точности пеленгования необходимо вычислять частные производные ВКДН АС по азимуту и по углу места. В случае, если ВКДН задана в аналитическом виде такие вычисления не составляют труда. Однако, во многих ситуациях на практике, ВКДН АС не задана в аналитическом виде и определяется по результатам измерений характеристик направленности АС в дискретных точках по азимуту и углу места. В таких случаях для расчета производной ВКДН может быть эффективно использован подход на основе модифицированного ряда Котельникова, подробно описанный для случаев эквидистантной дискретизации в работах [21-23], для неэквидистантной дискретизации – в [24]. Применение модифицированного ряда Котельникова позволяет представить производные ВКДН произвольных порядков через отсчеты ВКДН. Таким образом, такой подход позволит оценивать потенциальную точность пеленгования ИРИ по результатам измерений ВКДН в дискретных точках по азимуту и углу места в произвольной СК, начало которой в общем случае не совпадает с положением «энергетического» центра АС.

Проанализируем полученное выражение (12) для границы неравенства Крамера – Рао. Преобразуем слагаемые в скобках данного выражения к следующему виду

$$\dot{\mathbf{K}}^{-1} - \frac{\dot{\mathbf{K}}^{-1} \dot{\mathbf{H}}(\theta, \beta) \dot{\mathbf{H}}(\theta, \beta)^H \dot{\mathbf{K}}^{-1}}{\dot{\mathbf{H}}(\theta, \beta)^H \dot{\mathbf{K}}^{-1} \dot{\mathbf{H}}(\theta, \beta)} = \dot{\mathbf{K}}^{-\frac{1}{2}} \left(\mathbf{I} - \frac{\dot{\mathbf{K}}^{-\frac{1}{2}} \dot{\mathbf{H}}(\theta, \beta) \dot{\mathbf{H}}(\theta, \beta)^H \dot{\mathbf{K}}^{-\frac{1}{2}}}{\dot{\mathbf{H}}(\theta, \beta)^H \dot{\mathbf{K}}^{-1} \dot{\mathbf{H}}(\theta, \beta)} \right) \dot{\mathbf{K}}^{-\frac{1}{2}}.$$

Вычитаемое в скобках является матрицей-проектором:

$$\hat{\mathbf{\Pi}} = \frac{\dot{\mathbf{K}}^{-\frac{1}{2}} \dot{\mathbf{H}}(\theta, \beta) \dot{\mathbf{H}}(\theta, \beta)^H \dot{\mathbf{K}}^{-\frac{1}{2}}}{\dot{\mathbf{H}}(\theta, \beta)^H \dot{\mathbf{K}}^{-1} \dot{\mathbf{H}}(\theta, \beta)},$$

для которой справедливо свойство идемпотентности,

$$\hat{\mathbf{\Pi}} \cdot \hat{\mathbf{\Pi}} = \frac{\dot{\mathbf{K}}^{-\frac{1}{2}} \dot{\mathbf{H}}(\theta, \beta) \dot{\mathbf{H}}(\theta, \beta)^H \dot{\mathbf{K}}^{-\frac{1}{2}}}{\dot{\mathbf{H}}(\theta, \beta)^H \dot{\mathbf{K}}^{-1} \dot{\mathbf{H}}(\theta, \beta)} \cdot \frac{\dot{\mathbf{K}}^{-\frac{1}{2}} \dot{\mathbf{H}}(\theta, \beta) \dot{\mathbf{H}}(\theta, \beta)^H \dot{\mathbf{K}}^{-\frac{1}{2}}}{\dot{\mathbf{H}}(\theta, \beta)^H \dot{\mathbf{K}}^{-1} \dot{\mathbf{H}}(\theta, \beta)} = \hat{\mathbf{\Pi}}.$$

Тогда выражение для элементов матрицы Фишера (6) можем записать как

$$\mathbf{F}'_{ij} = \frac{\partial \dot{\mathbf{H}}(\theta, \beta)^H}{\partial l_i} \dot{\mathbf{K}}^{-\frac{1}{2}} \hat{\mathbf{\Pi}}_{\perp} \dot{\mathbf{K}}^{-\frac{1}{2}} \frac{\partial \dot{\mathbf{H}}(\theta, \beta)}{\partial l_j},$$

где $\hat{\mathbf{\Pi}}_{\perp} = \mathbf{I} - \hat{\mathbf{\Pi}}$ – ортогональный проектор.

Нетрудно показать, что определитель матрицы (6)

$$\det \mathbf{\Phi}' = 2 \sum_{q=1}^Q |\dot{E}_q|^2 \mathbf{F}'_{11} \mathbf{F}'_{22} (1 - r_{\theta\beta}^2),$$

где

$$r_{\theta\beta} = \frac{\frac{\partial \dot{\mathbf{H}}(\theta, \beta)^H}{\partial \theta} \dot{\mathbf{K}}^{-\frac{1}{2}} \hat{\mathbf{\Pi}}_{\perp} \dot{\mathbf{K}}^{-\frac{1}{2}} \frac{\partial \dot{\mathbf{H}}(\theta, \beta)}{\partial \beta}}{\sqrt{\frac{\partial \dot{\mathbf{H}}(\theta, \beta)^H}{\partial \theta} \dot{\mathbf{K}}^{-\frac{1}{2}} \hat{\mathbf{\Pi}}_{\perp} \dot{\mathbf{K}}^{-\frac{1}{2}} \frac{\partial \dot{\mathbf{H}}(\theta, \beta)}{\partial \theta}} \sqrt{\frac{\partial \dot{\mathbf{H}}(\theta, \beta)^H}{\partial \beta} \dot{\mathbf{K}}^{-\frac{1}{2}} \hat{\mathbf{\Pi}}_{\perp} \dot{\mathbf{K}}^{-\frac{1}{2}} \frac{\partial \dot{\mathbf{H}}(\theta, \beta)}{\partial \beta}}} \quad (13)$$

– коэффициент корреляции оценок. Тогда обратная матрица Фишера может быть записана как

$$\mathbf{\Phi}'^{-1} = \begin{pmatrix} \sigma_{\theta}^2 & -r_{\theta\beta} \sigma_{\theta} \sigma_{\beta} \\ -r_{\theta\beta} \sigma_{\theta} \sigma_{\beta} & \sigma_{\beta}^2 \end{pmatrix},$$

элементами которой являются:

$$\sigma_{\theta}^2 = \frac{1}{2 \sum_{q=1}^Q |\dot{E}_q|^2 (1 - |r_{\theta\beta}|^2) \frac{\partial \dot{\mathbf{H}}(\theta, \beta)^H}{\partial \theta} \dot{\mathbf{K}}^{-\frac{1}{2}} \hat{\mathbf{\Pi}}_{\perp} \dot{\mathbf{K}}^{-\frac{1}{2}} \frac{\partial \dot{\mathbf{H}}(\theta, \beta)}{\partial \theta}}, \quad (14)$$

$$\sigma_{\beta}^2 = \frac{1}{2 \sum_{q=1}^Q |\dot{E}_q|^2 (1 - |r_{\theta\beta}|^2) \frac{\partial \dot{\mathbf{H}}(\theta, \beta)^H}{\partial \beta} \dot{\mathbf{K}}^{-\frac{1}{2}} \hat{\mathbf{\Pi}}_{\perp} \dot{\mathbf{K}}^{-\frac{1}{2}} \frac{\partial \dot{\mathbf{H}}(\theta, \beta)}{\partial \beta}} \quad (15)$$

– дисперсии совместных оценок азимута и угла места направления на ИРИ и комплексный коэффициент корреляции оценок (13).

3. Понятие «энергетического» центра.

Условие, при котором полученные выражения (13)-(15) в случае совместной оценки азимута и угла места совпадают с выражениями (2)-(4), соответствует равенству нулю поправки $\Delta\Phi$ в формуле (6), т.е.

$$\begin{cases} \dot{\mathbf{S}}_1^H \hat{\mathbf{\Pi}} \dot{\mathbf{S}}_1 = 0, \\ \dot{\mathbf{S}}_1^H \hat{\mathbf{\Pi}} \dot{\mathbf{S}}_2 = 0, \\ \dot{\mathbf{S}}_2^H \hat{\mathbf{\Pi}} \dot{\mathbf{S}}_2 = 0. \end{cases} \quad (16)$$

где $\dot{\mathbf{S}}_1 = \frac{\partial \dot{\mathbf{H}}(\theta, \beta)}{\partial \theta}$, $\dot{\mathbf{S}}_2 = \frac{\partial \dot{\mathbf{H}}(\theta, \beta)}{\partial \beta}$.

В соответствии с неравенством Буняковского – Шварца для эрмитовых матриц, определитель матрицы (6) удовлетворяет условию

$$|\det \Phi'| \geq 0,$$

которое эквивалентно

$$\left| \text{Tr} \left(\dot{\mathbf{S}}_1^H \dot{\mathbf{K}}^{-\frac{1}{2}} \hat{\mathbf{\Pi}} \dot{\mathbf{K}}^{-\frac{1}{2}} \dot{\mathbf{S}}_2 \right) \right|^2 \leq \text{Tr} \left(\dot{\mathbf{S}}_1^H \dot{\mathbf{K}}^{-\frac{1}{2}} \hat{\mathbf{\Pi}} \dot{\mathbf{K}}^{-\frac{1}{2}} \dot{\mathbf{S}}_1 \right) \text{Tr} \left(\dot{\mathbf{S}}_2^H \dot{\mathbf{K}}^{-\frac{1}{2}} \hat{\mathbf{\Pi}} \dot{\mathbf{K}}^{-\frac{1}{2}} \dot{\mathbf{S}}_2 \right).$$

С учетом последнего неравенства нетрудно заключить, что выполнение любых двух уравнений системы (16) неизбежно приводит к выполнению оставшегося третьего уравнения. Следовательно, вместо (16), условие равенства нулю поправки $\Delta\Phi$ в формуле (6), соответствует системе двух независимых уравнений

$$\begin{cases} \dot{\mathbf{S}}_1^H \dot{\mathbf{K}}^{-\frac{1}{2}} \hat{\mathbf{\Pi}} \dot{\mathbf{K}}^{-\frac{1}{2}} \dot{\mathbf{S}}_1 = 0, \\ \dot{\mathbf{S}}_2^H \dot{\mathbf{K}}^{-\frac{1}{2}} \hat{\mathbf{\Pi}} \dot{\mathbf{K}}^{-\frac{1}{2}} \dot{\mathbf{S}}_2 = 0, \end{cases} \quad \text{или} \quad \begin{cases} \frac{\partial \dot{\mathbf{H}}^H(\theta, \beta)}{\partial \theta} \dot{\mathbf{K}}^{-1} \dot{\mathbf{H}}(\theta, \beta) = 0, \\ \frac{\partial \dot{\mathbf{H}}^H(\theta, \beta)}{\partial \beta} \dot{\mathbf{K}}^{-1} \dot{\mathbf{H}}(\theta, \beta) = 0. \end{cases} \quad (17)$$

Введем нормированную на матрицу корреляции шума $\dot{\mathbf{K}}$ ВКДН следующего вида:

$$\hat{\mathbf{H}}(\theta, \beta) = \dot{\mathbf{K}}^{-1/2} \dot{\mathbf{H}}(\theta, \beta),$$

и запишем систему уравнений (17) как

$$\begin{cases} \frac{\partial \hat{\mathbf{H}}^H(\theta, \beta)}{\partial \theta} \dot{\hat{\mathbf{H}}}(\theta, \beta) = 0, \\ \frac{\partial \hat{\mathbf{H}}^H(\theta, \beta)}{\partial \beta} \dot{\hat{\mathbf{H}}}(\theta, \beta) = 0. \end{cases} \quad (18)$$

Видно, что записанная система уравнений (18) эквивалентна условию ортогональности вектора нормированной ВКДН $\dot{\hat{\mathbf{H}}}(\theta, \beta)$ с ее первыми частными производными $\frac{\partial \dot{\hat{\mathbf{H}}}(\theta, \beta)}{\partial \theta}$ и $\frac{\partial \dot{\hat{\mathbf{H}}}(\theta, \beta)}{\partial \beta}$, что проиллюстрировано на рис. 1.

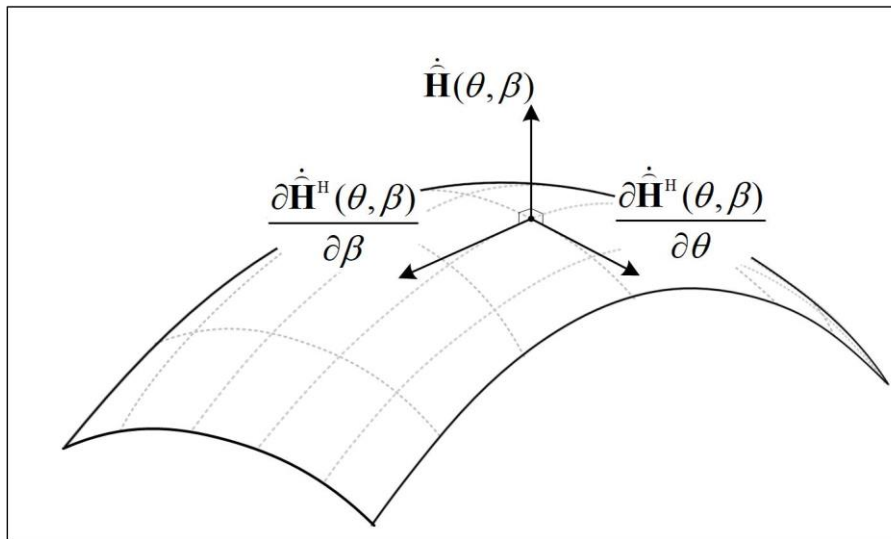


Рис. 1. Иллюстрация условия применимости выражений неравенства Крамера – Рао (2)-(4).

Рассмотрим частный случай невзаимодействующей АС с элементами типа «точечных» датчиков поля и ВКДН вида [9]

$$\hat{\mathbf{H}}_n(\theta, \beta) = a_n \exp\left(i \frac{2\pi R}{\lambda} \mathbf{k}^T \mathbf{r}_n\right), \quad \mathbf{r}_n = (x_n, y_n)^T, \quad \mathbf{k} = \begin{pmatrix} \cos \theta \cos \beta \\ \sin \theta \cos \beta \end{pmatrix}, \quad n = \overline{1, N}, \quad (19)$$

где \mathbf{k} – единичный вектор направления на ИРИ, a_n – амплитудный множитель (модуль n -го элемента ВКДН), \mathbf{r}_n – радиус-вектор n -го АЭ, λ – длина пеленгуемой радиоволны, N – количество антенн.

В результате подстановки (19) в (18) получим необходимое и достаточное условие справедливости выражений (2)-(4) для нижней границы Крамера – Рао,

$$\sum_{n,m=1}^N |a_n|^2 \mathbf{r}_n (\mathbf{K}^{-1})_{nm} = 0,$$

что эквивалентно условию равенства нулю радиус-вектора точки «энергетического» центра АС,

$$\mathbf{R} = \frac{\sum_{n,m=1}^N |\dot{\mathbf{H}}_n(\theta, \beta)|^2 \mathbf{r}_n(\dot{\mathbf{K}}^{-1})_{nm}}{\sqrt{\sum_{n,m=1}^N |\dot{\mathbf{H}}_n(\theta, \beta)|^2 (\dot{\mathbf{K}}^{-1})_{nm}}} = \frac{\sum_{n,m=1}^N |a_n|^2 \mathbf{r}_n(\dot{\mathbf{K}}^{-1})_{nm}}{\sqrt{\sum_{n,m=1}^N |a_n|^2 (\dot{\mathbf{K}}^{-1})_{nm}}}. \quad (20)$$

Таким образом, для АС с элементами типа «точечных» датчиков поля и ВКДН вида (19) выражения для нижней границы дисперсии неравенства Крамера – Рао (2)-(4) справедливы лишь в том случае, когда начало СК ВКДН определено в «энергетическом» центре АС. В противном случае следует использовать обобщённые выражения (13)-(15), учитывающее поправку $\Delta\Phi$ для информационной матрицы Фишера.

Заметим, что выражение для радиус-вектора «энергетического» центра АС (20) в общем случае зависит от значений азимута и угла места. Поэтому, при расчёте по формулам (2)-(4) необходимо для каждого значения азимута и угла места на ИРИ дополнительно вычислять положение «энергетического» центра АС, после чего переопределять ВКДН в соответствующую СК, что требует дополнительных вычислительных затрат. Напротив, при использовании полученных формул (13)-(15), данная поправка уже учтена, что позволяет выполнять вычисления независимо от положения «энергетического» центра АС.

4. Результаты расчета среднеквадратической ошибки пеленгования.

Рассмотрим случай пространственно некоррелированного шума с одинаковой в различных каналах интенсивностью σ^2 , т.е. $\dot{\mathbf{K}} = \sigma^2 \mathbf{I}$, тогда выражения (16) и (17) для СКО совместной оценки азимута и угла места примут вид:

$$\sigma_\theta = \sqrt{\mu^{-1} \frac{1}{2(1-|r_{\theta\beta}|^2) \frac{\partial \dot{\mathbf{H}}(\theta, \beta)^H}{\partial \theta} \hat{\mathbf{\Pi}}_\perp \frac{\partial \dot{\mathbf{H}}(\theta, \beta)}{\partial \theta}}},$$

$$\sigma_{\beta} = \sqrt{\mu^{-1} \frac{1}{2(1-|r_{\theta\beta}|^2) \frac{\partial \dot{\mathbf{H}}(\theta, \beta)^H}{\partial \beta} \hat{\mathbf{P}}_{\perp} \frac{\partial \dot{\mathbf{H}}(\theta, \beta)}{\partial \beta}}}, \quad (21)$$

где $\hat{\mathbf{P}}_{\perp} = \mathbf{I} - \hat{\mathbf{P}} = \mathbf{I} - \frac{\dot{\mathbf{H}}(\theta)\dot{\mathbf{H}}(\theta)^H}{\dot{\mathbf{H}}(\theta)^H\dot{\mathbf{H}}(\theta)}$, $\mu = \frac{|\dot{E}|^2}{\sigma^2}$ – ОСШ в одном канале ОП при эффективной действующей длине антенны, равной 1 м.

На рис. 2а схематически изображена объемная 8-элементная АР, 7 элементов которой расположены в составе плоской эквидистантной кольцевой АР и один элемент расположен над центром кольцевой решетки. Синим крестом обозначено положение геометрического центра АР, а красным – положение «энергетического» центра, сдвиг которого обусловлен положением седьмого элемента АР. В качестве ВКДН рассматривалась невзаимодействующая точечная АР с элементами типа «точечных» датчиков поля, всенаправленных по азимуту и углу места. На рис. 2б изображена зависимость относительной

погрешности $\sigma_{\Delta} = \frac{|\sigma_{\beta}^{(1)} - \sigma_{\beta}^{(2)}|}{\sigma_{\beta}^{(2)}} \cdot 100\%$ СКО пеленгования от значений угла места,

где $\sigma_{\beta}^{(1)}$ обозначена СКО пеленгования в угломестной плоскости, рассчитываемая по известному выражению (3), а $\sigma_{\beta}^{(2)}$ – СКО пеленгования в угломестной плоскости, рассчитываемая по обобщённому выражению (21). Представленные зависимости получены при отношении радиуса кольцевой АР к длине волны $R/\lambda = 1$ и различных значениях отношениях h/R высоты расположения седьмого элемента к радиусу АР.

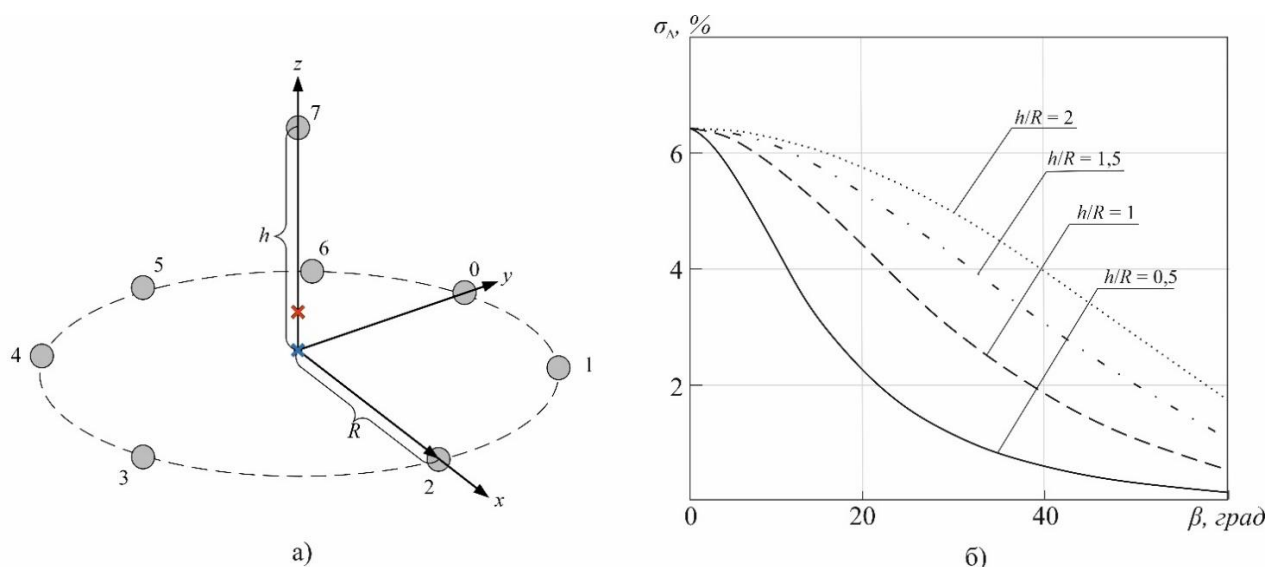


Рис. 2. Объемная 8-элементная АР (а) и зависимость относительной погрешности СКО пеленгования σ_{Δ} в угломестной плоскости (б) от значений угла места

Результаты расчета, изображенные на рис. 2б показывают, что с ростом отношения h/R относительная погрешность СКО пеленгования по углу места увеличивается, что обусловлено большим смещением «энергетического» центра АР относительно геометрического в угломестной плоскости, при этом при $h/R=0$ относительная погрешность $\sigma_{\Delta}=0$. Таким образом, результаты расчета СКО по обобщенному выражению (15), отличаются от результатов расчета по известному выражению (3), не учитывающему смещение центра СК ВКДН относительно «энергетического» центра АС. В случае плоской АР (кольцевой решетки с центральным элементом), результаты расчетов по выражениям (2) и (14) одинаковы, что обусловлено совпадением «энергетического» и геометрического центров в азимутальной плоскости.

Заключение

Для антенных решеток с элементами типа «точечных» датчиков поля широко применяемое выражение для информационной матрицы Фишера справедливо лишь в том случае, если начало СК ВКДН определено в «энергетическом» центре решётки. Показано, что для использования такого выражения необходимо дополнительно вычислять положение

«энергетического» центра АС, после чего переопределять ВКДН в соответствующую СК, что требует дополнительных вычислительных затрат. Обобщённое выражение для «энергетического» центра АР с произвольной структурой и характеристиками направленности АЭ в условиях сложной электромагнитной обстановки получено в настоящей работе.

В общем случае многоканального ОП с АС произвольной структуры и характеристиками направленности, при оценке потенциальной точности пеленгования по азимуту и углу места следует использовать полученное обобщённое выражение для информационной матрицы Фишера, позволяющее рассчитывать потенциальные характеристики ОП для ВКДН, определенной в произвольной СК, независимо от расположения «энергетического» центра АС. Сформулирована теорема для информации Фишера совместных оценок азимута и угла места в случае многоканального обнаружителя-пеленгатора с антенной системой произвольной структуры в условиях сложной электромагнитной обстановки, в том числе при наличии корреляции шума в пространственных каналах и различиях в его интенсивности.

Использование на практике полученных обобщённых выражений для нижней границы Крамера – Рао позволит решать задачу синтеза пеленгационных АС в зависимости от ее структуры и характеристик направленности, числа антенн и параметров окружающей электромагнитной обстановки.

Литература

1. Артёмов М.Л. Методы статистической радиотехники в современном решении задач радиомониторинга / М.Л. Артемов, О.В. Афанасьев, М.П. Сличенко // Антенны. – 2016. – №6 (226). – С. 55-62.
2. Артемов М.Л. Современный подход к развитию методов пеленгования радиоволн источников радиоизлучения / М.Л. Артемов, М.П. Сличенко // Антенны. – 2018. – № 5 (249). – С. 31-37.

3. Артемов М.Л. Обнаружение и пеленгование источников радиоизлучений в рамках теории статистической радиотехники / М.Л. Артемов, О.В. Афанасьев, М.П. Сличенко // Радиотехника. – 2016. – № 5. – С. 4-18.
4. Куликов Е.И. Оценка параметров сигналов на фоне помех / Е.И. Куликов, А.П. Трифионов – М.: Советское радио, 1978 – 295 с.
5. Рао С.Р. Линейные статистические методы и их применения: Пер. с англ. / Под ред. академика Ю.В. Линника / С.Р. Рао. – М.: Наука, 1968. – 548 с.
6. Репин В.Г., Тартаковский Г.П. Статистический синтез при априорной неопределенности и адаптация информационных систем. М.: Сов. радио, 1977. 432 с.
7. Левин Б.Р. Теоретические основы статистической радиотехники / Б.Р. Левин – 3-е изд. перераб. и доп. – М.: Радио и связь, 1989. 656 с.
8. Уфаев В.А. Способы определения местоположения и пространственной идентификации источников радиоизлучений: Монография / В.А. Уфаев. – Воронеж: ВУНЦ ВВС «ВВА», 2017. – 431 с.
9. Артёмов М.Л. Предельная пеленгационная чувствительность пеленгационной антенной системы / М.Л. Артёмов, А.Д. Виноградов, И.С. Дмитриев, М.Ю. Ильин // Антенны. – 2010. – № 12 (163). – С. 13-19.
10. Виноградов А.Д. Потенциальная точность многоканального пеленгатора с антенной решеткой из ненаправленных невзаимодействующих антенных элементов / А.Д. Виноградов, И.С. Дмитриев // Антенны. – 2008. – № 3 (130). – С. 60-63.
11. Виноградов А.Д. Предельная чувствительность широкодиапазонных радиопеленгаторов с эквидистантными кольцевыми антенными решетками из ненаправленных антенн / А.Д. Виноградов, И.С. Дмитриев, М.Ю. Ильин., М.И. Козлов, М.П. Сличенко, Е.С. Соломко // Антенны. – 2013. – №5. – С. 18-29.

12. Артемов М.Л. Потенциальная точность оценивания направлений прихода и амплитуд напряженности поля нескольких плоских монохроматических радиоволн многоканальным радиопеленгатором с антенной системой произвольной конфигурации / М.Л. Артемов, О.В. Афанасьев, И.С. Дмитриев, В.В. Попов, М.П. Сличенко // Радиотехника. – 2013. – № 3. – С. 69-75.
13. Дмитриев И.С. Максимально правдоподобное обнаружение и оценивание направления прихода и амплитуды напряженности радиоволны с помощью многоканального радиопеленгатора с антенной системой произвольной конфигурации / И.С. Дмитриев, М.П. Сличенко // Антенны. – 2011. – №5. – С. 59-64.
14. Артемов М.Л. Потенциальная точность совместного оценивания азимута и угла места направления прихода радиоволн от источника радиоизлучения / М.Л. Артемов, О.В. Афанасьев, М.П. Сличенко // Антенны. – 2018. – № 5 (249). – С. 38-46.
15. Артемов М.Л. Автоматизированные системы управления, радиосвязи и радиоэлектронной борьбы. Основы теории и принципы построения. / Под ред. М.Л. Артемова / М.Л. Артемов, В.И. Борисов, В.А. Маковий, М.П. Сличенко. – М.: Радиотехника, 2021. – 556 с.
16. Артемов М.Л. Особенности функционирования максимально правдоподобного алгоритма обнаружения и оценивания параметров плоской монохроматической радиоволны в условиях сложной помеховой обстановки / М.Л. Артемов, О.В. Афанасьев, И.С. Дмитриев, М.П. Сличенко // Радиотехника. – 2013. – №3. – С. 62-68.
17. Соломко Е.С. Адаптивный алгоритм обнаружения и пеленгования плоской монохроматической радиоволны многоканальным многошкальным несинфазным радиопеленгатором / Е.С. Соломко // Радиотехника. 2013. №12. С. 129-135.

18. Сличенко М.П. Обобщенное неравенство Крамера – Рао для пеленгования источников радиоизлучения в условиях сложной электромагнитной обстановки / М.П. Сличенко, О.Н. Завалишина // Теория и техника радиосвязи. – 2022. – №4. – С. 41-45.
19. Сличенко М.П. Обобщенная оценка потенциальной точности пеленгования источников радиоизлучения многоканальным обнаружителем-пеленгатором в условиях сложной электромагнитной обстановки / М.П. Сличенко, О.Н. Завалишина // Сборников трудов XXIX Международной научно-технической конференции «Радиолокация, навигация, связь», посвященной 70-летию кафедры радиофизики ВГУ. – 2023. – Т.1. – С. 192-199.
20. Афанасьев О.В. Теорема о количестве информации Фишера в случае азимутального пеленгования многоканальным обнаружителем-пеленгатором с антенной системой произвольной структуры / О.В. Афанасьев, М.П. Сличенко, О.Н. Завалишина // Радиотехника. – 2023. – Т.87. – №5. – С. 143-156. <https://doi.org/10.18127/j00338486-202305-15>
21. Дмитриев И.С. Представление периодических функций с финитным спектром Фурье модифицированным рядом Котельникова / И.С. Дмитриев, М.П. Сличенко // Радиотехника и электроника. – 2015. – Т. 60. – № 5. – С. 529-534. <https://doi.org/10.7868/S0033849414090071>
22. Сличенко М.П. Представление многомерных периодических функций в виде конечной взвешенной суммы отсчетных значений / М.П. Сличенко // Радиотехника и электроника. – 2014. – Т. 59. – № 10. – С. 1042-1049. <https://doi.org/10.7868/S0033849414090071>
23. Дмитриев И.С. Особенности интерполяции 2π -периодических функций с финитным спектром Фурье на основе теоремы отсчетов / И.С. Дмитриев, М.П. Сличенко // Журнал радиоэлектроники [электронный журнал]. – 2014. – №1.

24. Сличенко М.П. Представление периодических функций с финитным спектром Фурье модифицированным неэквидистантным рядом Котельникова / М.П. Сличенко // Радиотехника. – 2023. Т. 87. – № 5. – С. 123-133.
<https://doi.org/10.18127/j00338486-202305-13>

Для цитирования:

Сличенко М.П., Завалишина О.Н. Обобщённое неравенство Крамера – Рао в случае совместного пеленгования по азимуту и углу места в условиях сложной электромагнитной обстановки. // Журнал радиоэлектроники. – 2024. – №. 3. <https://doi.org/10.30898/1684-1719.2024.3.12>